

Introdução

Como já estudado, ondas são movimentos causados por perturbações em um meio, transportando energias.

Neste experimento, serão discutidos os fenômenos ondulatórios, dentre eles, reflexão, refração, difração e interferência.

A reflexão ocorre quando a onda encontra uma barreira e é refletida com o mesmo ângulo de incidência.

Já, a refração ocorre quando a onda muda de meio de propagação, isso acontece, porque as características de cada meio são diferentes e isso altera a trajetória da onda, assim como a sua velocidade e comprimento de onda.

Em relação à difração, tal fenômeno é observado quando a onda encontra um obstáculo, passando por uma fenda. Ao passar pela fenda, a onda passa a se propagar num formato circular. Por fim, a interferência acontece com o encontro de duas ondas, quando elas têm o mesmo comprimento de onda, elas se encontram acusando pontos de interferência destrutiva e construtiva consecutivos. No caso da interferência destrutiva, ocorre a anulação da onda, já na interferência construtiva, ocorre um aumento na amplitude da onda (reforço).

J. A refração pode ser estudada pela lei de Snell: $\frac{\sin(i)}{\sin(r)} = \frac{\lambda_1}{\lambda_2}$ (1), que relaciona os ângulos de incidência e refração e os comprimentos de onda em cada meio.

Metodologia

Para este experimento, foram utilizados uma cuba com água, estroboscópio, sistema de suporte para cuba, anteparo branco (folha A4), vibrodeca com medida de frequência, objetos de acrílico em diferentes formas para anteparos, paquímetro e régua.

Primeiramente, foi feita a montagem do aparelho, colocou-se água na cuba (0,5-0,75cm), em seguida, ligou-se a fonte e a frequência do vibrodeca foi ajustada. Com o roteiro desligado colocou-se uma lâmina de acrílico transparente no fundo da cuba e mediu-se o fato de ampliação da imagem.

O experimento foi dividido em quatro partes:

a) Reflexão: na primeira etapa, produziu-se ondas planas com 3 frequências diferentes (10, 20, 30 Hz), na segunda etapa, um anteparo retinheco com 3 ângulos diferentes foi inserido na cuba e na última inseriu-se um obstáculo curvilinear.

b) Refração: Produziu-se ondas planas e logo em seguida uma placa de acrílico obliqua em relação à direção de propagação das ondas foi inserida. Também se analisou o espectro resultante para duas inclinações e duas frequências diferentes.

c) Interferência: Utilizando uma fonte pontual dotou-se a figura de três diferentes frequências (10, 20, 30 Hz), em seguida, utilizando 2 fontes distantes em 5cm com essas mesmas frequências. Por fim, repetiu-se para 7,5cm e 10 cm.

d) **Difração:** Utilizou-se um gerador de ondas planas, colocou-se um obstáculo reto com uma fenda, resultando em uma figura para cada frequência (10, 20, 30 Hz). O mesmo foi feito para um obstáculo com 2 fendas em paralelo.

Para observar as ondas, uma fonte de luz piscava na mesma frequência do vibrador, assim, os cristas das ondas eram as faixas iluminadas e os vales, as faixas escurecidas.

Resultados

Calculo da velocidade: Ao utilizar 3 frequências diferentes (10, 20 e 30 Hz) foi possível calcular a velocidade da onda na água a partir da equação $v = \lambda \cdot f$, sendo v , a velocidade da onda, λ , o comprimento de onda, f , frequência. A velocidade de uma onda depende do meio em que ela se propaga, neste caso, por tratar de ondas em líquidos, deve-se levar em conta também a profundidade. Como nos três casos a profundidade das ondas é considerada a mesma, espera-se que os valores sejam parecidos. Os valores das velocidades obtidas estão apresentados na tabela abaixo e, a partir deles, foi obtida a velocidade média, sendo $\bar{v} = 0,47 \text{ m/s}$.

f	$\lambda (\text{cm})$	$\lambda (\text{m})$	$v (\text{m/s})$
10	4,31	0,0431	0,43
20	2,27	0,0227	0,45
30	1,80	0,0180	0,54

Corrigir o comprimento de onda com

o fator de ampliação do anteparo.

Incerteza da régua: $\pm 0,5 \text{ mm}$

Incerteza da frequenciamente: $\pm 1 \text{ Hz}$

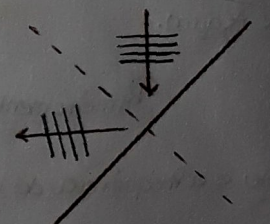
Complementar Reflexão: No fenômeno da reflexão, a onda encontra um anteparo e é refletida por ele, como no desenho A. com os padrões

Assim, constata-se que os ângulos de incidência e reflexão são iguais e que

\rightarrow a soma é 90° quando o ângulo de incidência é 45°

a soma deles é igual a 90° . Nas fotos, apresentadas em anexo, analisando minuciosamente,

é possível observar que as ondas refletidas formam um desenho similar a uma malha quadrangular.



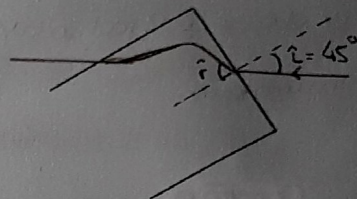
Comparando a posição do obstáculo, quando a angulação deste é 0, as ondas refletidas têm a mesma direção, no mesmo sentido oposto às ondas incidentes. Já em relação aos anteparos com 30° e 45° de inclinação, observa-se que as ondas refletidas percorrem uma trajetória com direção diferente das ondas incidentes e comparando entre elas, espera-se que haja uma sutileza na trajetória devido à diferença angular entre as posições em 30° e 45° . Já, ao se utilizar o anteparo curvado, as ondas refletidas se diferem um pouco. Como o ângulo não é o mesmo sobre a superfície do anteparo (o ângulo de reflexão leva em conta a reta perpendicular em relação ao ponto de reflexão), as ondas refletidas se propagam radialmente.

Refracção: Como visto anteriormente, para ondas propagando em líquidos, a profundidade deve ser considerada. Assim, ao se colocar um anteparo, ele diminui a profundidade, ficando visível a diferença no comprimento de onda. Quando a profundidade aumenta, a distância entre as linhas aumentam, acusando um aumento no am-

Calcular as velocidades

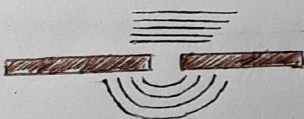
Primento de onda). Vale ressaltar, que a frequência si mantém a mesma (determinada pelo vibrador).

Quando se altera o ângulo da posição do anteparo, observa-se a presença de "curvas" nas linhas projetadas, indicando a refracção. Isso mostra que os "partes" da onda que estão sobre o anteparo, estão numa profundidade menor e assim, possuem um comprimento de onda menor. Pela lei de Snell (1), pode-se determinar o comprimento de onda refratada, assumindo os ângulos apresentados no desenho B.

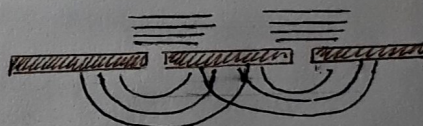


O fenômeno observado obedece o resultado esperado teoricamente. Ao se comparar profundidades diferentes, espera-se que a velocidade de propagação numra profundidade maior seja maior e como as grandezas velocidade e comprimento de onda são diretamente proporcionais, logo, o comprimento de onda aumenta.

Difração: Quando uma onda encontra um obstáculo, ela tende a contorná-lo. A partir da observação das imagens deste fenômeno, constata-se que depois que a onda passa pela fenda, ela assume um formato circular e, quanto menor for a largura da fenda, mais esse fenômeno é perceptível. Comparando as imagens da frequência 30Hz, é claramente visível que quanto maior a largura da fenda, se aproxima do valor do comprimento de onda, o formato circular é bem mais perceptível. Ao se utilizar duas fendas, após a ocorrência da difração, passa a ocorrer o fenômeno de interferência construtiva e destrutiva entre as ondas, uma vez que elas têm as mesmas características.

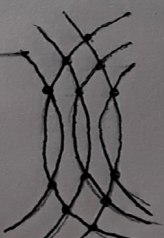


G Uso de 1 fenda



G Uso de 2 fendas

Interferência: Primeiramente, ao analisar as ondas com uma única fonte pontual, observa-se que a propagação da onda é contínua e sem qualquer interferência. As interferências ocorrem quando as ondas se encontram. Neste experimento, foi possível observar através de ondas propagando radialmente, usando duas fontes de propagação, que nos pontos de interferência destrutiva, que ocorre uma anulação das ondas, os pontos de brilho eram mais fracos, em comparação, nos pontos de interferência construtiva, que ocorre um reforço das ondas (aumento da amplitude), o brilho é mais evidente, fenômeno observado a 20Hz e 30Hz. Além disso, observa-se que quanto mais distantes estão as fontes das ondas, mais pontos de interferência são observados. O padrão de interferência é analisado da seguinte forma:



• Complementos sobre os pontos de interferência, construtiva e destrutiva

Conclusão

Neste experimento foi possível observar os fenômenos ondulatórios e em todos os casos as observações realizadas obedeceram o esperado teoricamente, favorecendo o estudo do comportamento ondulatório.



Conexão - relatório OS

1) Cálculo das velocidades:

- Fator de ampliação da imagem: $\alpha = 1,81 = 0,51$

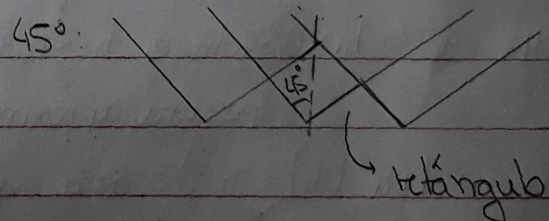
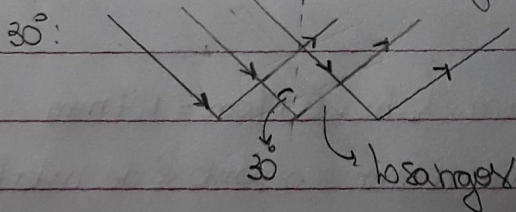
3,55

Utilizando o fator de ampliação, a tabela deve ser reescrita da seguinte maneira:

$f(\text{Hz})$	$\lambda_{\text{proj}}(\text{cm})$	$\lambda_{\text{real}}(\text{cm})$	$\lambda_{\text{real}}(\text{m})$	$v(\text{m/s})$
40	4,31	2,20	0,0220	0,22
20	2,24	1,16	0,0116	0,23
30	1,80	0,92	0,0092	0,28

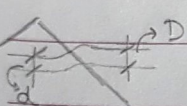
2) Reflexão

a.) Na reflexão, com ângulos de 30° e 45° é possível ter padrões:



3) Refração: . Para $f = 20\text{Hz} - 45^\circ$

Lata d'água. Como a frequência é a mesma: $f = v_1 = v_2$



$$D = \lambda_1 \rightarrow 1,25 = 1,16 \rightarrow \lambda_2 = 0,93\text{cm}$$

$$v_1 = 0,23\text{m/s}$$

$v_2 = 0,19\text{m/s} \rightarrow$ quanto menor a profundidade, menor a velocidade

. Para $f = 30\text{Hz} - 45^\circ$

$$\lambda_2 \cdot 1,29 = 0,92 \rightarrow \lambda_2 = 0,71\text{cm} \quad \begin{cases} v_1 = 0,28\text{m/s} \\ v_2 = 0,21\text{m/s} \end{cases}$$

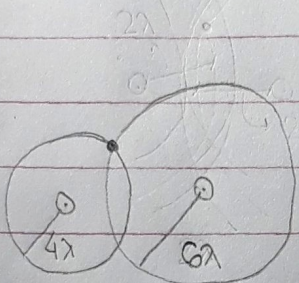
A partir da equação $v = \sqrt{gh}$, pois trata-se de pequenas profundidades, pode-se calcular a profundidade da onda:

$$f = 20\text{Hz} - 45^\circ: h_1 = 0,54\text{cm} \text{ e } h_2 = 0,37\text{cm}$$

$$\text{Espessura aproximada da placa} = h_1 - h_2 = 0,17\text{cm} = 1,7\text{mm}$$

4) Interferência: $|D_a - D_b| = n \cdot \frac{\lambda}{2}$, essa expressão permite definir se o ponto é de interferência construtiva (n par), destrutiva (n ímpar)

Exemplo:



① Ponte de propagações

• ponto estudado

$$|6\lambda - 4\lambda| = n \cdot \lambda$$

2

$$2\lambda \cdot 2 = n\lambda$$

$n = 4 \rightarrow$ ponto de interferência construtiva

O desenho não apresenta todo o padrão de interferência (já apresentado no relatório para facilitar a visualização).

